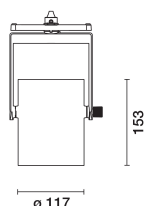


Ultimo aggiornamento delle informazioni: Giugno 2025

Configurazione di prodotto: RG32

RG32: Tecnica Evo sospensione - corpo Ø117 - DALI

**Codice prodotto**

RG32: Tecnica Evo sospensione - corpo Ø117 - DALI

Descrizione tecnica

Apparecchio a sospensione dotato di adattatore per installazione su binario elettrificato DALI. Sorgente LED ad alto rendimento. Corpo illuminante in alluminio pressofuso. Sistema ottico con riflettore realizzato in alluminio antigraffio ad alte prestazioni P.V.D. (Physical Vapour Deposition) in grado di esprimere un ottimo rapporto di efficienza luminosa. Impianto di sospensione a bilanciamento con doppio cavo in acciaio e sistema di regolazione. Dotazione di blocchi meccanici del puntamento; i movimenti di rotazione ed inclinazione possono essere bloccati per garantire il puntamento preciso dell'emissione luminosa anche ad installazione avvenuta o durante le fasi di manutenzione. Unità di alimentazione dimmerabile DALI integrata. Predisposizione per alloggiamento degli accessori ottici comuni alla gamma. La disponibilità dei riflettori intercambiabili accessori permette la variazione dell'angolo di emissione secondo necessità anche successive all'installazione originale.

Installazione

Installazione su binario elettrificato.

Colore

Bianco (01) | Nero (04)

Peso (Kg)

1.53

Montaggio

binario dali

Cablaggio

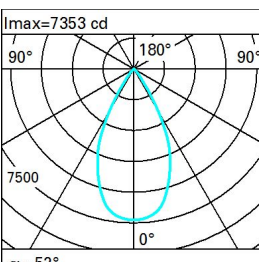
Alimentazione dimmerabile DALI integrata.

Soddisfa EN60598-1 e relative note

**Dati tecnici**

Im di sistema:	5035	CRI (minimo):	80
W di sistema:	38.2	Temperatura colore [K]:	3000
Im di sorgente:	5300	MacAdam Step:	2
W di sorgente:	34	Life Time LED 1:	> 50,000h - L90 - B10 (Ta 25°C)
Efficienza luminosa (lm/W, dati di sistema):	131.8	Codice lampada:	LED
Im in modalità emergenza:	-	Numero di lampade per vano ottico:	1
Flusso totale emesso a 90° o superiore [Lm]:	0	Codice ZVEI:	LED
Light Output Ratio (L.O.R.) [%]:	95	Numero di vani ottici:	1
Angolo di apertura [°]:	52°	Control:	DALI-2

Polare

<div><div>lmax=7353 cd</div><div>90°180°90°</div><div>7500</div><div>0°</div><div>α=52°</div></div>	<div><div>CIE</div><div>nL 0.95</div><div>97-100-100-100-95</div><div>UGR 19.5-19.5</div><div>DIN</div><div>A.61</div><div>UTE</div><div>0.95A+0.00T</div><div>F*1=969</div><div>F*1+F*2=997</div><div>F*1+F*2+F*3=1000</div></div>				<div><div>Lux</div><table><tr><th>h</th><th>d</th><th>Em</th><th>Emax</th></tr><tr><td>2</td><td>2</td><td>1404</td><td>1838</td></tr><tr><td>4</td><td>3.9</td><td>351</td><td>460</td></tr><tr><td>6</td><td>5.9</td><td>156</td><td>204</td></tr><tr><td>8</td><td>7.8</td><td>88</td><td>115</td></tr></table></div>				h	d	Em	Emax	2	2	1404	1838	4	3.9	351	460	6	5.9	156	204	8	7.8	88	115
	h	d	Em	Emax																								
	2	2	1404	1838																								
	4	3.9	351	460																								
	6	5.9	156	204																								
8	7.8	88	115																									

Coefficienti di utilizzazione

R	77	75	73	71	55	53	33	00	DRR
K0.8	85	80	76	74	79	76	76	72	76
1.0	88	84	81	79	83	81	80	77	81
1.5	93	90	88	86	89	87	86	83	87
2.0	96	94	92	91	93	91	90	87	92
2.5	98	96	95	94	95	94	93	90	95
3.0	99	98	97	96	97	96	94	92	97
4.0	101	100	99	98	98	97	96	94	99
5.0	101	101	100	100	99	98	97	95	100

Curva limite di luminanza

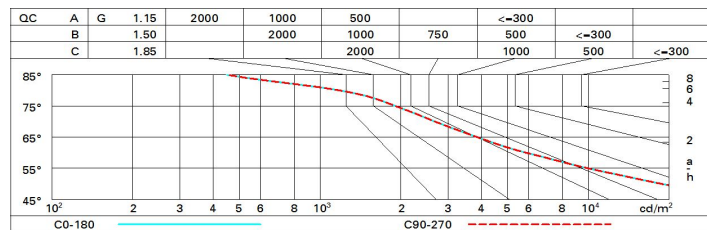


Diagramma UGR

Corrected UGR values (at 5300 lm bare lamp luminous flux)											
Reflect.: ceiling/cav walls work pl. Room dim x y		0.70	0.70	0.50	0.50	0.30	0.70	0.70	0.50	0.50	0.30
		0.50	0.30	0.50	0.30	0.30	0.50	0.30	0.50	0.30	0.30
		0.20	0.20	0.20	0.20	0.20	0.20	0.20	0.20	0.20	0.20
		viewed crosswise					viewed endwise				
2H	2H	20.1	20.7	20.4	20.9	21.2	20.1	20.7	20.4	20.9	21.2
	3H	20.0	20.5	20.3	20.8	21.0	20.0	20.5	20.3	20.8	21.0
	4H	19.9	20.4	20.2	20.7	21.0	19.9	20.4	20.2	20.7	21.0
	6H	19.8	20.3	20.2	20.6	20.9	19.8	20.3	20.2	20.6	20.9
	8H	19.8	20.2	20.1	20.6	20.9	19.8	20.2	20.1	20.5	20.9
	12H	19.7	20.2	20.1	20.5	20.9	19.7	20.2	20.1	20.5	20.9
4H	2H	19.9	20.4	20.2	20.7	21.0	19.9	20.4	20.2	20.7	21.0
	3H	19.8	20.2	20.1	20.5	20.9	19.8	20.2	20.1	20.5	20.9
	4H	19.7	20.0	20.1	20.4	20.8	19.7	20.0	20.1	20.4	20.8
	6H	19.6	19.9	20.0	20.3	20.7	19.6	19.9	20.0	20.3	20.7
	8H	19.5	19.8	20.0	20.3	20.7	19.5	19.8	20.0	20.3	20.7
	12H	19.5	19.8	19.9	20.2	20.6	19.5	19.8	19.9	20.2	20.6
8H	4H	19.5	19.8	20.0	20.3	20.7	19.5	19.8	20.0	20.3	20.7
	6H	19.4	19.7	19.9	20.1	20.6	19.4	19.7	19.9	20.1	20.6
	8H	19.4	19.6	19.9	20.1	20.6	19.4	19.6	19.9	20.1	20.6
	12H	19.3	19.5	19.8	20.0	20.5	19.3	19.5	19.8	20.0	20.5
12H	4H	19.5	19.8	19.9	20.2	20.6	19.5	19.8	19.9	20.2	20.6
	6H	19.4	19.6	19.9	20.1	20.6	19.4	19.6	19.9	20.1	20.6
	8H	19.3	19.5	19.8	20.0	20.5	19.3	19.5	19.8	20.0	20.5
Variations with the observer position at spacing:											
S =	1.0H	5.5 / -10.6					5.5 / -10.6				
	1.5H	8.3 / -13.6					8.3 / -13.6				
	2.0H	10.3 / -15.0					10.3 / -15.0				